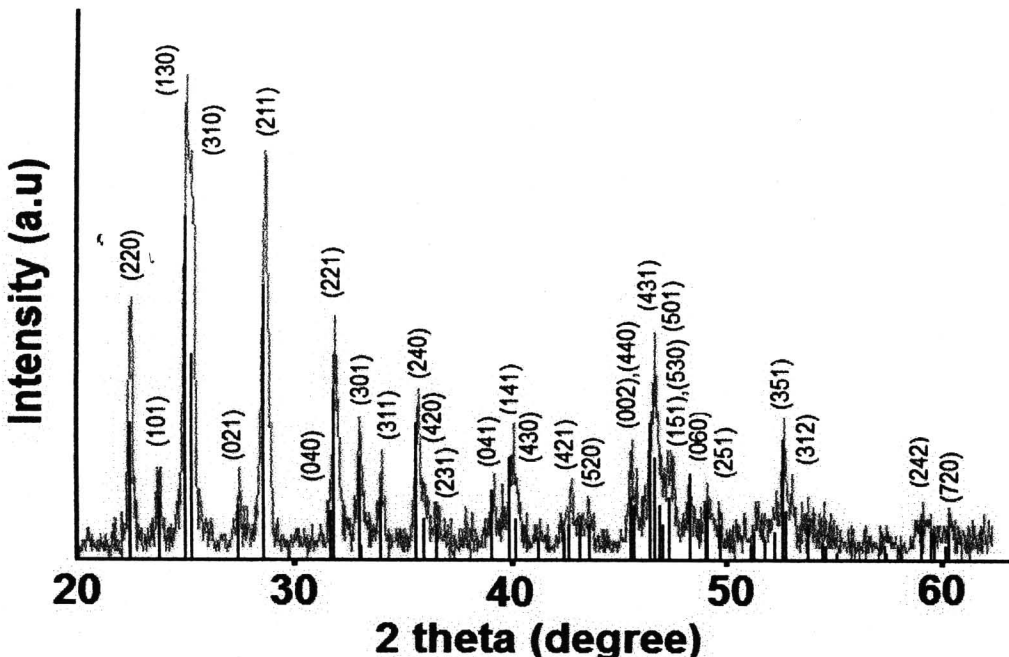


## บทที่ 4

### ผลการทดลองและการวิเคราะห์

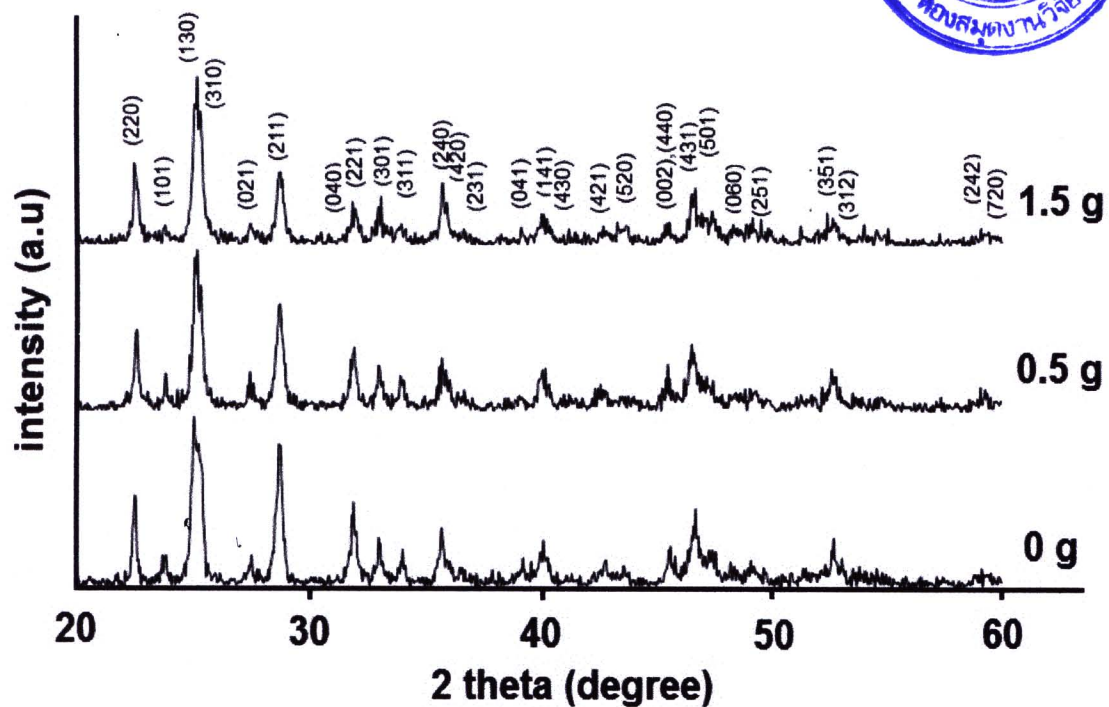
#### 4.1 ผลการวิเคราะห์ $\text{Bi}_2\text{S}_3$ ที่สังเคราะห์โดยวิธีการ microwave

##### 4.1.1 ผลการทดลอง XRD



รูปที่ 4.1 แสดงถึงกราฟ XRD ของ  $\text{Bi}_2\text{S}_3$  เมื่อไม่เติม surfactant

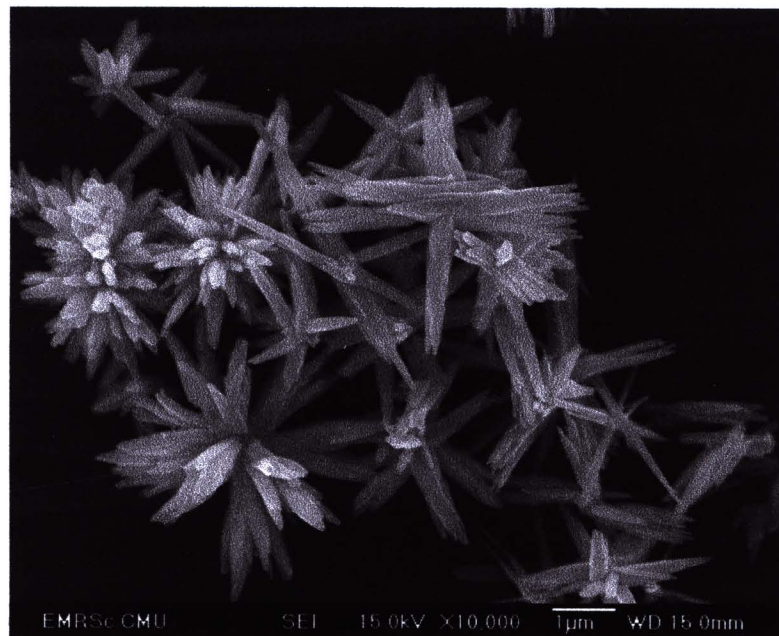
รูปที่ 4.1 แสดงถึง กราฟ XRD ของสารตัวอย่าง โดยทุกจุดยอดของกราฟสามารถบ่งชี้ได้ว่า สารตัวอย่างคือ  $\text{Bi}_2\text{S}_3$  ที่มีลักษณะเซลล์ลิกอยู่ในรูปแบบ orthorhombic มีค่าคงที่เซลล์  $a=11.12$ ,  $b=11.25$ , และ  $c=3.975 \text{ \AA}$  (JCPDS file no. 17-0320) ลักษณะของจุดยอดของกราฟมีฐานที่แคบและ สูง แสดงว่า  $\text{Bi}_2\text{S}_3$  มีความเป็นผลึกที่ดี ไม่พบจุดยอดของกราฟที่มาจากการเฟสอื่น จุดสูงสุดของกราฟอยู่ที่  $2\theta=24.92 \text{ degree}$  ซึ่งถูกแทรกสอดมาจากระนาบ (130) ของผลึก



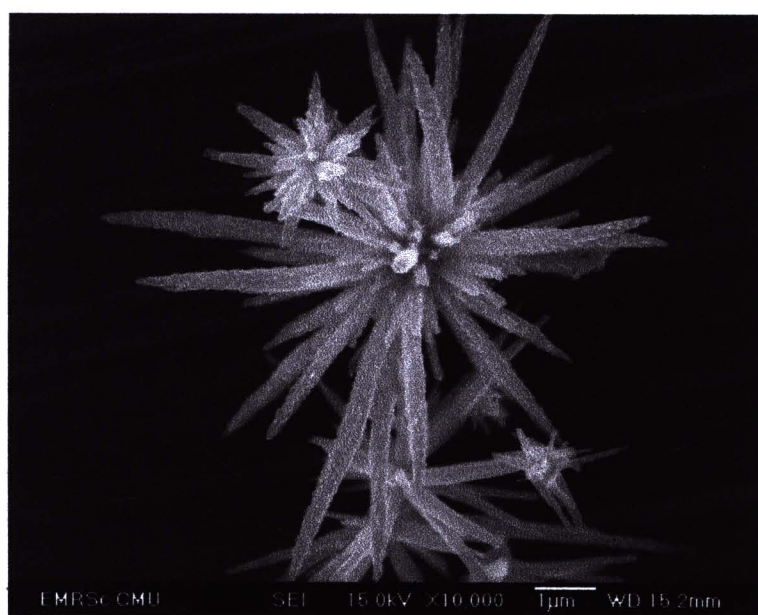
รูปที่ 4.2 แสดงถึงกราฟ XRD ของ  $\text{Bi}_2\text{S}_3$  เมื่อเติม N-cetylpyridinium chloride 0 g, 0.5 g และ 1.5 g

จากรูปที่ 4.2 ทุกจุดยอดของกราฟสามารถบ่งชี้ได้ว่าสารตัวอย่างคือ  $\text{Bi}_2\text{S}_3$  และเมื่อสังเกตจากค่าความสูงของกราฟพบว่าความเป็นผลลัพธ์มีค่าสูงขึ้นเล็กน้อยเมื่อมีการเติม surfactant N-cetylpyridinium chloride

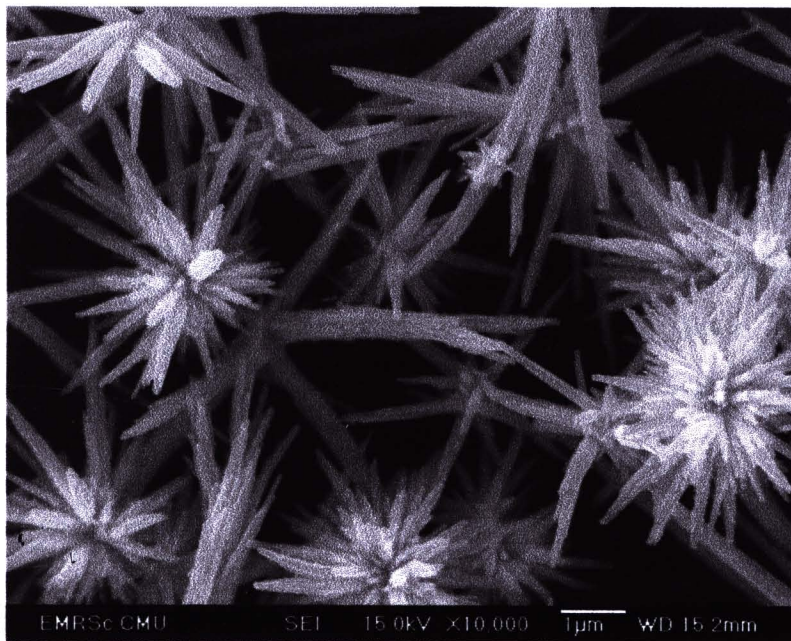
#### 4.1.2 ผลการทดลอง SEM



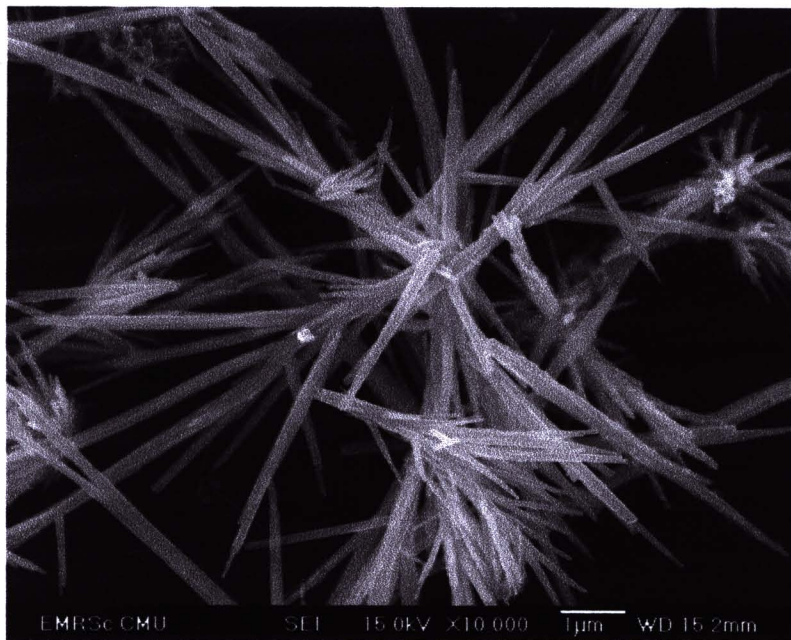
รูปที่ 4.3 แสดงภาพถ่ายของ SEM ของ Bi<sub>2</sub>S<sub>3</sub> ที่กำลังไฟฟ้า 600 W ระยะเวลาสังเคราะห์ 6 cycle เมื่อไม่เติม surfactant



รูปที่ 4.4 แสดงภาพถ่ายของ SEM ของ Bi<sub>2</sub>S<sub>3</sub> ที่กำลังไฟฟ้า 600 W ระยะเวลาสังเคราะห์ 6 cycle เมื่อเติม N-cetyl pyridinium chloride 0.5 g



รูปที่ 4.5 แสดงภาพถ่ายของ SEM ของ Bi<sub>2</sub>S<sub>3</sub> ที่กำลังไฟฟ้า 600 W ระยะเวลาสั้นcrete ห 6 cycle เมื่อเติม N-cetyl pyridinium chloride 1.0 g



รูปที่ 4.6 แสดงภาพถ่ายของ SEM ของ Bi<sub>2</sub>S<sub>3</sub> ที่กำลังไฟฟ้า 600 W ระยะเวลาสั้นcrete ห 6 cycle เมื่อเติม N-cetyl pyridinium chloride 1.5 g

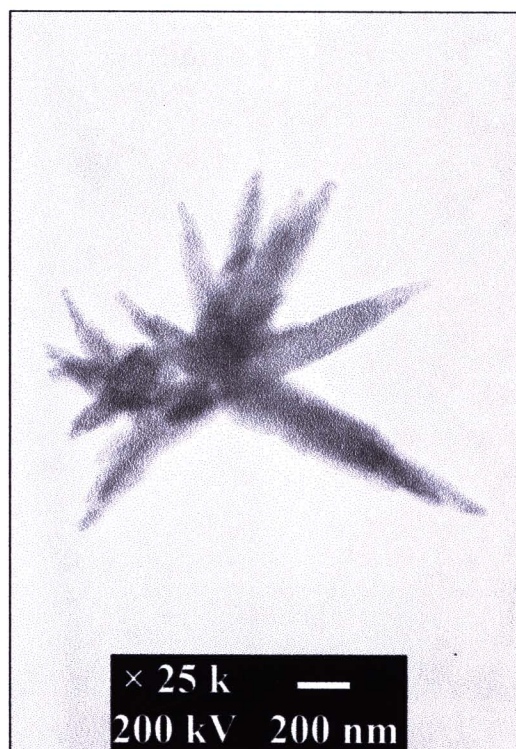


จากรูปถ่ายของ SEM เมื่อใช้ bismuth nitrate และใช้ thiosemicarbazide เป็นสารตั้งต้น  
ภายใต้เงื่อนไขกำลังไฟฟ้าคงที่ 600 W และระยะเวลาการสังเคราะห์คงที่ 6 cycle ลักษณะสัมฐาน  
ของ  $\text{Bi}_2\text{S}_3$  มีรูปร่างลักษณะคล้ายเม่น โดยที่แต่ละอันประกอบไปด้วยแท่งนาโนจำนวนมากมา  
ประกอบกันและกระจายตัวกันออกจากจุดศูนย์กลาง ความยาวแท่งนาโนเมื่อไม่เติม surfactant มี  
ค่าเฉลี่ยประมาณ 2-3  $\mu\text{m}$  เมื่อเติม surfactant N-cetyl pyridinium chloride เพิ่มลงไปประมาณ 0.5 g  
พบว่าความยาวของแท่งนาโนมีความยาวเพิ่มขึ้นเล็กน้อย และเมื่อเติม surfactant ในปริมาณเพิ่มขึ้น  
เป็น 1.0 g และ 1.5 g พบว่าแท่งนาโนมีความยาวเฉลี่ยประมาณ 4  $\mu\text{m}$  และ 6  $\mu\text{m}$  ตามลำดับ

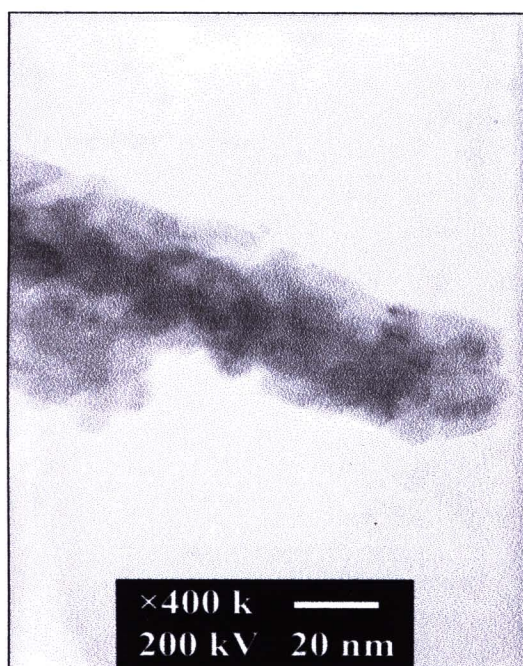
#### 4.1.3 ผลการทดลอง TEM



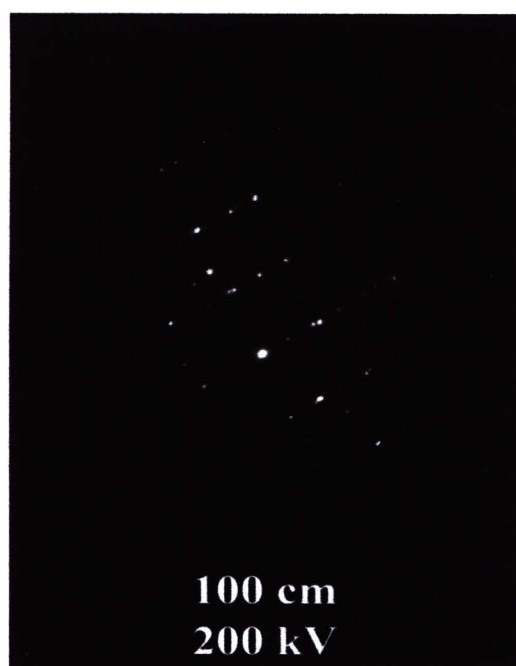
(η)



(ψ)

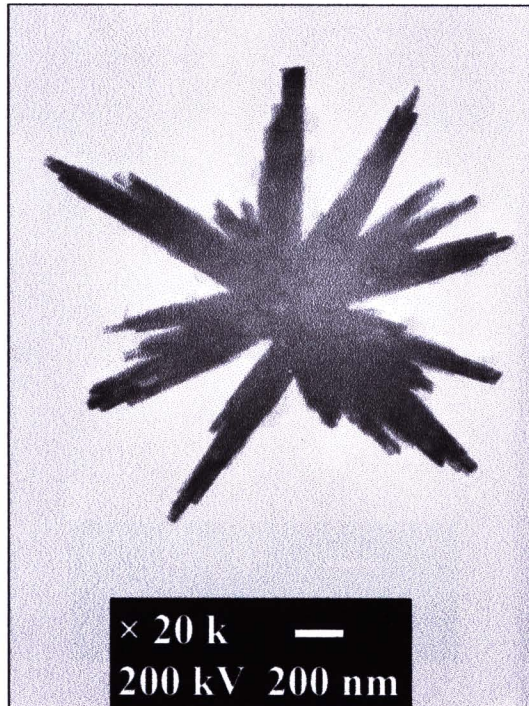
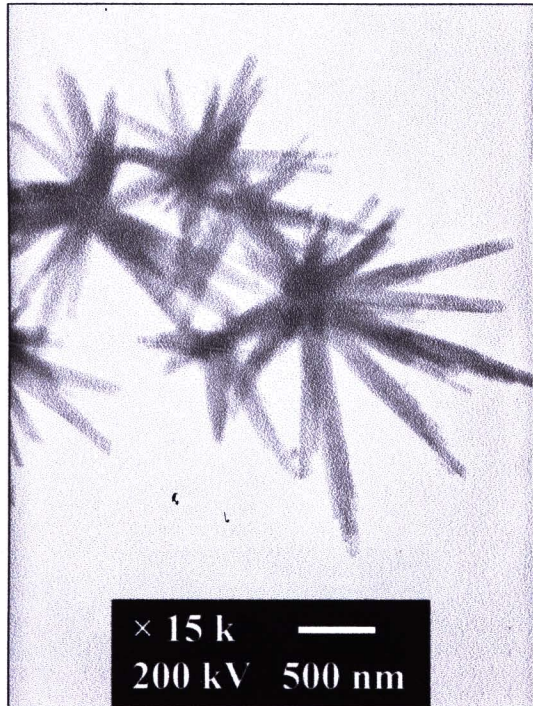


(κ)

100 cm  
200 kV

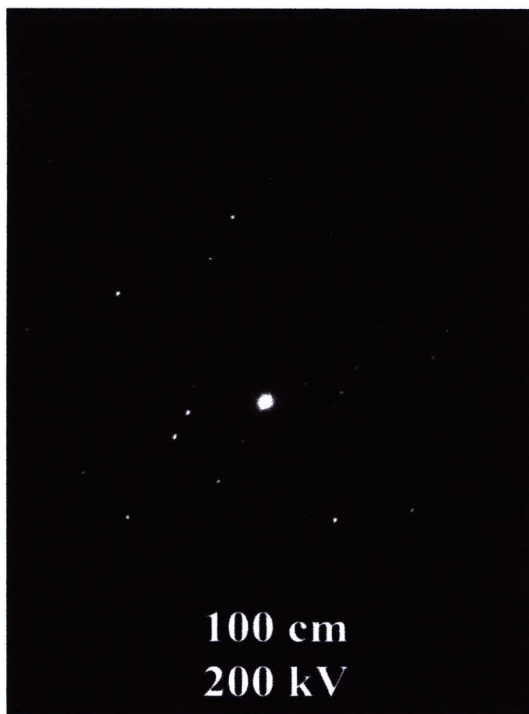
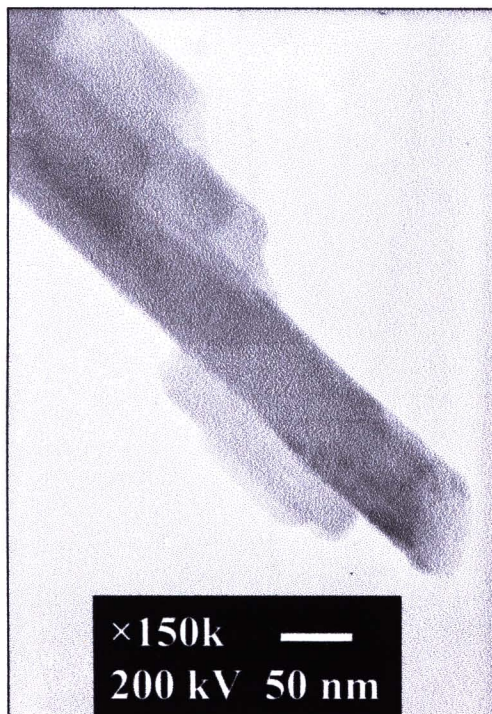
(δ)

รูปที่ 4.7 (η), (ψ) และ (κ) แสดงภาพถ่าย TEM ของ Bi<sub>2</sub>S<sub>3</sub> (δ) SAED patterns เมื่อไม่เติม surfactant



(g)

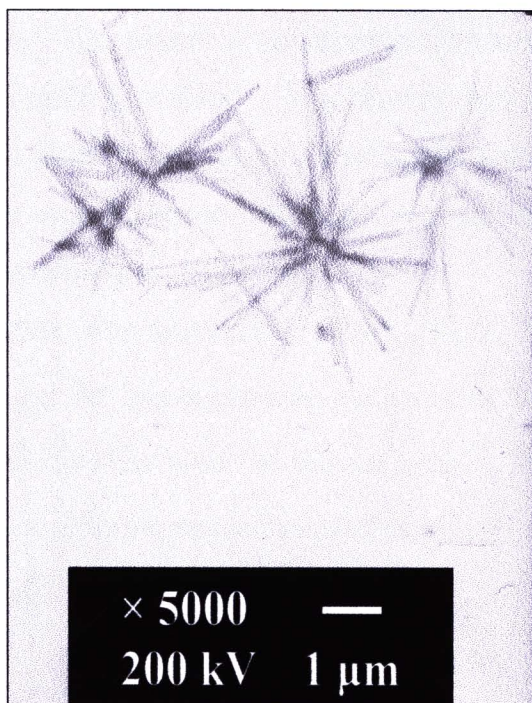
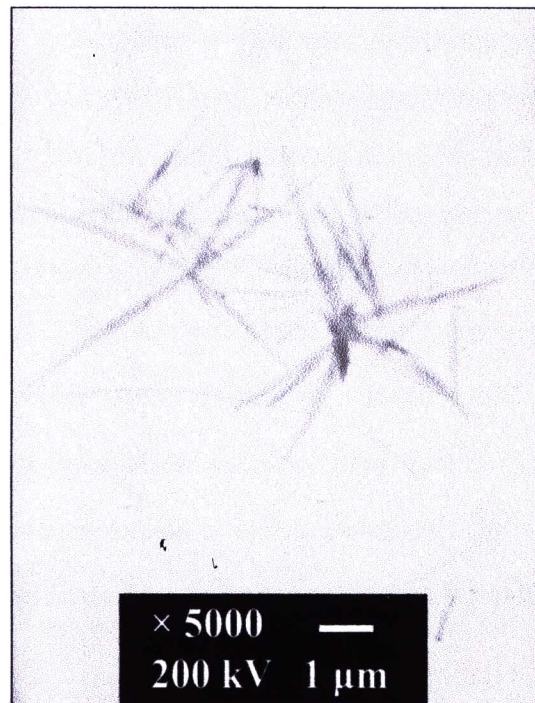
(h)



(k)

(l)

รูปที่ 4.8 (ก), (ห) และ (ค) แสดงภาพถ่าย TEM ของ  $\text{Bi}_2\text{S}_3$  (ล) SAED patterns เมื่อเติม N-cetyl pyridinium chloride 0.5 g

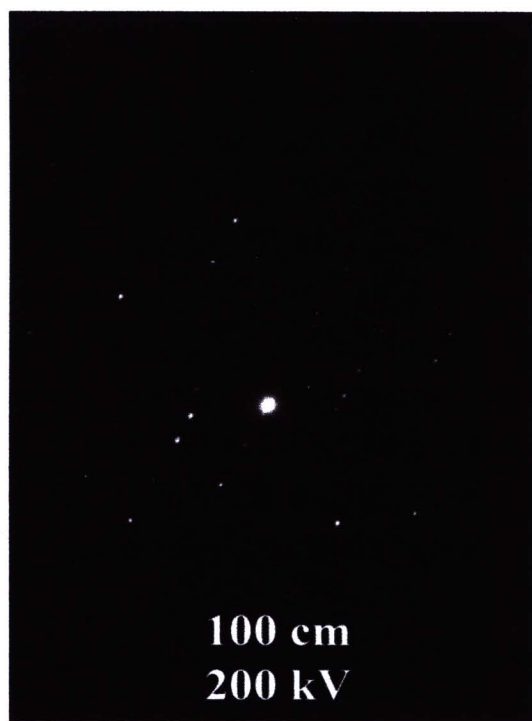


(ก)

(ก)



(ก)



(ก)

รูปที่ 4.9 (ก), (ก) และ (ก) แสดงภาพถ่าย TEM ของ  $\text{Bi}_2\text{S}_3$  (ก) SAED patterns เมื่อเติม N-cetyl pyridinium chloride 1.5 g



จากภาพถ่าย TEM พบว่าลักษณะสัมฐานของ  $\text{Bi}_2\text{S}_3$  สอดคล้องกับภาพถ่ายจาก SEM โดยมีลักษณะเป็นแท่งนาโนมาประกลบกันและกระจายตัวกันออกในแนวรัศมี ในแต่ละแท่งนาโนหลักประกอบไปด้วยแท่งนาโนย่อยจำนวนมากรวมกัน จากรูปที่ 4.7 (ค) – 4.9 (ค) เส้นผ่าศูนย์กลางของแท่งนาโนมีค่าประมาณ 10 nm, 62 nm และ 80 nm ตามลำดับ ผลจากการถ่ายจาก SAED patterns พบว่าสารที่สังเคราะห์ได้เป็นผลึกเดียวทุกเงื่อนไขการสังเคราะห์

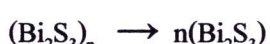
การฟอร์มตัวกันของ  $\text{Bi}_2\text{S}_3$  microcrystalline เกิดจากการละลาย  $\text{Bi}(\text{NO}_3)_3 \cdot 5\text{H}_2\text{O}$  ใน ethylene glycol ทำให้ได้  $\text{Bi}^{3+}$  และมี sulfur source คือ thiosemicabazide รวมตัวกันเป็น Bi-thiosemicabazide complexes ที่อุณหภูมิห้อง จากนั้นเมื่อได้รับ cyclic microwave radiation Bi-thiosemicabazide complexes จึงถูกตัวเมื่อถึงอุณหภูมิที่เหมาะสมและเริ่มฟอร์มตัวกันเป็น  $\text{Bi}_2\text{S}_3$  microcrystalline ขั้นตอนทั้งหมดสามารถเขียนได้ดังนี้



(CMR ,EG)



(CMR ,EG)



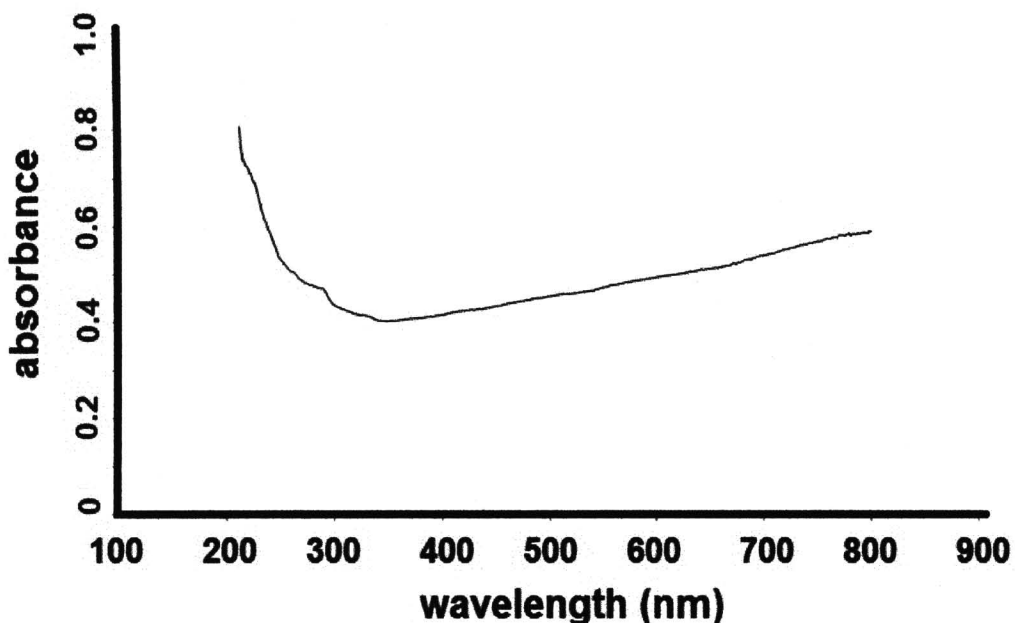
เนื่องจาก EG มีบทบาทเป็นตัวทำละลายทำให้ Bi - thiosemicabazide complexes กระจายตัวไปทั่วสารละลาย และมีความเป็นได้โพลิเมอร์จึงสามารถดูดซับพลังงานจากคลื่นไมโครเวฟได้ดีจนเกิดความร้อนสูง ทำให้การฟอร์มตัวของ  $\text{Bi}_2\text{S}_3$  microcrystalline เกิดขึ้นได้เร็วและทั่วถึงกันทุกส่วนอย่างเท่ากัน

การเริ่มต้นของการฟอร์มตัวของ  $\text{Bi}_2\text{S}_3$  microcrystalline ในลักษณะคล้ายเม่นเริ่มจากเมื่อให้ microwave radiation แก่สารละลายพสมก่อให้เกิด  $\text{Bi}_2\text{S}_3$  นิวเคลียสขึ้นจำนวนมากจากนั้นจึงสะสมกันเป็นกลุ่มก้อน เมื่อให้ microwave radiation นานขึ้นแต่ส่วนที่รวมตัวกันเป็นก้อนจึงเริ่มสะสม  $\text{Bi}_2\text{S}_3$  ไม่เด่นและสามารถเกาะกันออกในแนวรัศมีอันเนื่องมาจาก  $\text{Bi}_2\text{S}_3$  มีลักษณะโครงสร้างเป็นสายลูกโซ่ จึงก่อตัวยาวออกไปเรื่อยๆจนมีลักษณะคล้ายเม่น<sup>19</sup>

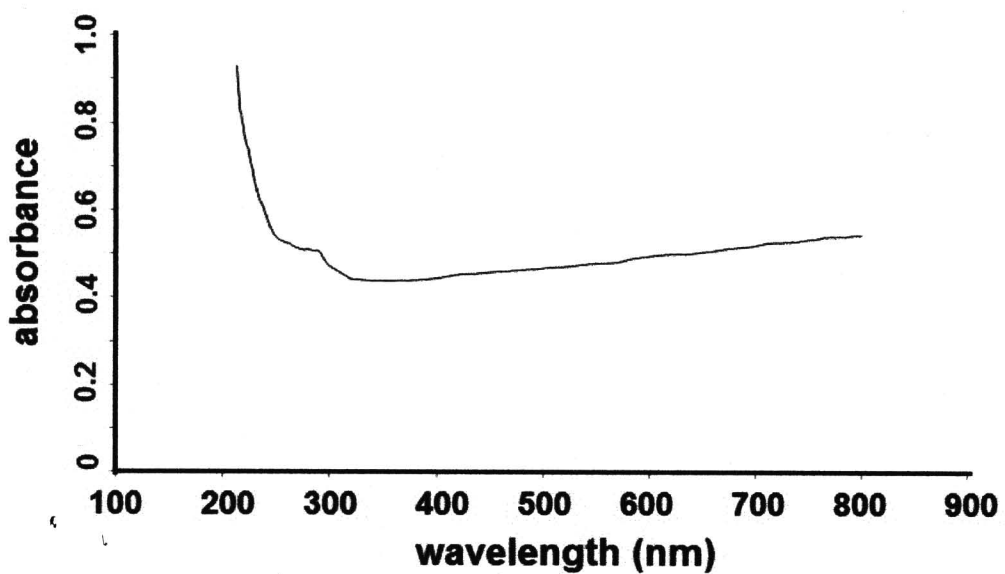
การเติบโตของ  $\text{Bi}_2\text{S}_3$  ในลักษณะแท่งนาโน<sup>20</sup> เกิดจากความแข็งแรงของพันธะ โควาเลนต์ ในแต่ละรูปแบบตามแนวแกน c มีมากกว่าแนวแกน a ซึ่งแต่ละรูปแบบกันด้วยแรงแวนเดอวัลล์ จึงทำให้อัตราการโตในแนวแกน c มีมากกว่าสองแนวที่เหลือทำให้ได้  $\text{Bi}_2\text{S}_3$  ที่มีลักษณะเป็นแท่งนาโน

การเติบ surfactant N-cetylpyridinium chloride ลงไปมีผลทำให้ไม่เกิดของ surfactant ซึ่งมีข้าวเข้าไปจับกับ EG และ  $\text{Bi}_2\text{S}_3$  ซึ่งมีโครงสร้างแบบลูกโซ่ออยู่แล้วทำให้เกิด micelles ในลักษณะทรงกระบอกหุ้ม จึงทำให้การเรียงตัวกันของโครงสร้างแบบโซ่ที่ประกอบเป็นแท่งนาโนเกิดขึ้นได้ดีและได้ลักษณะแท่งนาโนที่ยาวมากขึ้น ดังรูปที่ 4.8 (ค) เมื่อไม่เติม surfactant จะเห็นลักษณะของแท่งนาโนย่อยที่ขาดเป็นช่วงๆเรียงตัวกันแต่เมื่อมีการเติบ N-cetylpyridinium chloride ลงไป 0.5 g และ 1.5 g จากรูปที่ 4.7 (ค) - 4.9 (ค) จะเห็นว่าการเรียงตัวของแท่งนาโนย่อยเรียงตัวกันได้ดีไม่ขาดเป็นช่วงและมีความยาวของแท่งหลักมากกว่ากรณีที่ไม่เติม surfactant

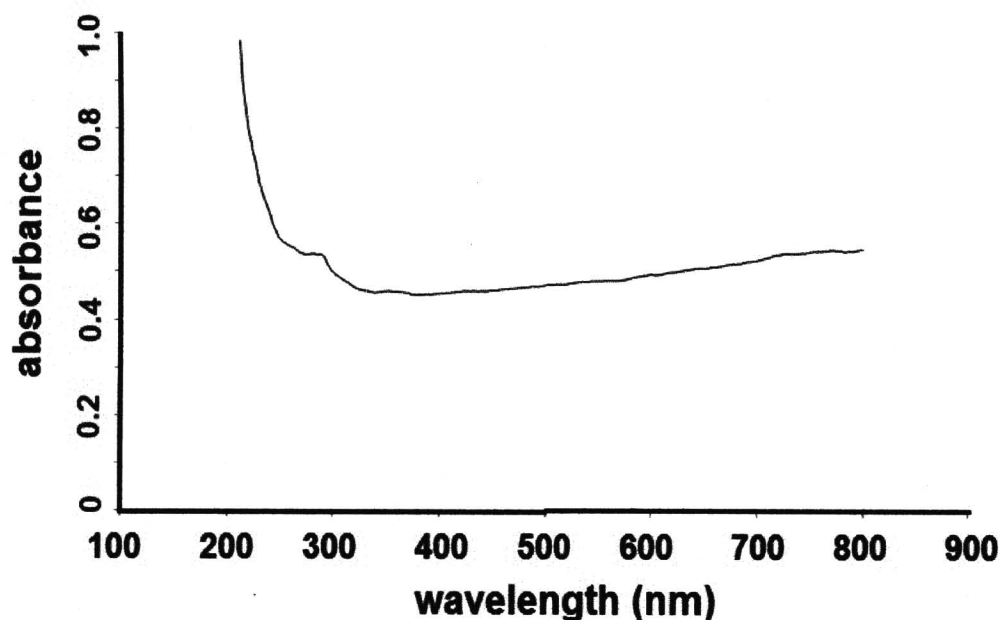
#### 4.1.4 ผลการทดลอง UV-Vis absorption



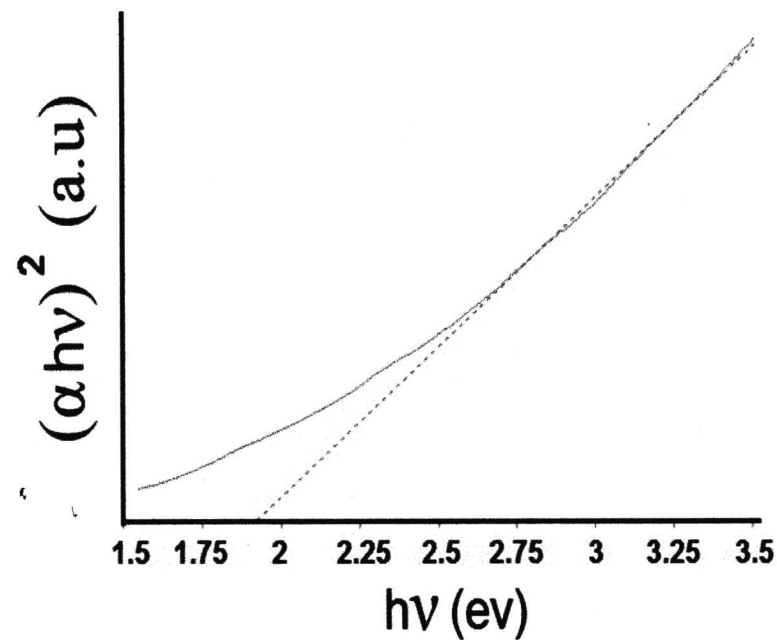
รูปที่ 4.10 UV-Vis absorption spectra ของ  $\text{Bi}_2\text{S}_3$  เมื่อไม่เติม surfactant



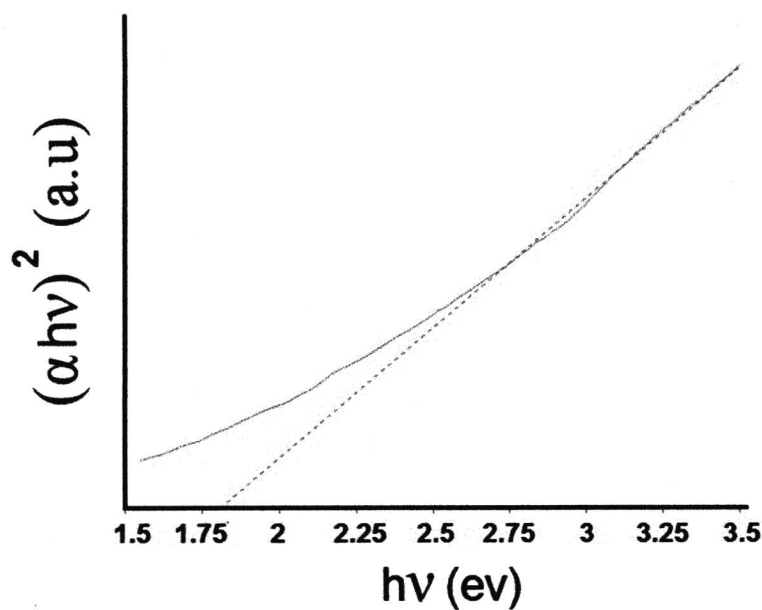
รูปที่ 4.11 UV-Vis absorption spectra ของ  $\text{Bi}_2\text{S}_3$  เมื่อเติม N-cetyl pyridinium chloride 0.5 g



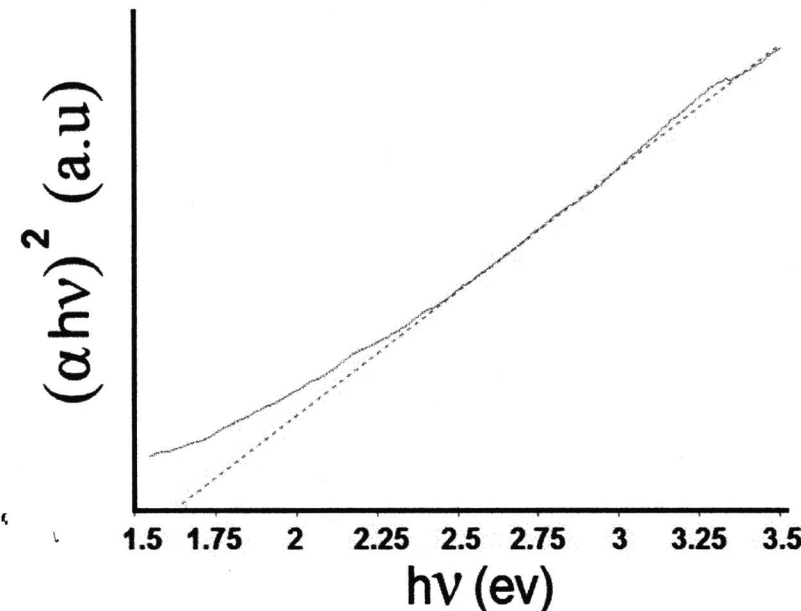
รูปที่ 4.12 UV-Vis absorption spectra ของ  $\text{Bi}_2\text{S}_3$  เมื่อเติม N-cetyl pyridinium chloride 1.5 g



รูปที่ 4.13 แสดงกราฟความสัมพันธ์ระหว่าง  $(\alpha h \nu)^2$  และ  $h\nu$  ของ  $\text{Bi}_2\text{S}_3$  เมื่อไม่เติม surfactant



รูปที่ 4.14 แสดงกราฟความสัมพันธ์ระหว่าง  $(\alpha h \nu)^2$  และ  $h\nu$  ของ  $\text{Bi}_2\text{S}_3$  เมื่อเติม N-cetyl pyridinium chloride 0.5 g



รูปที่ 4.15 แสดงกราฟความสัมพันธ์ระหว่าง  $(\alpha h\nu)^2$  และ  $h\nu$  ของ  $\text{Bi}_2\text{S}_3$  เมื่อเติม N-cetyl pyridinium chloride 1.5 g

จาก UV-Visible absorption spectrum ของ  $\text{Bi}_2\text{S}_3$  สามารถนำไปหาค่า optical energy bandgap ได้จากสมการความสัมพันธ์ระหว่าง absorption coefficient และพลังงาน โฟตอน<sup>21</sup>

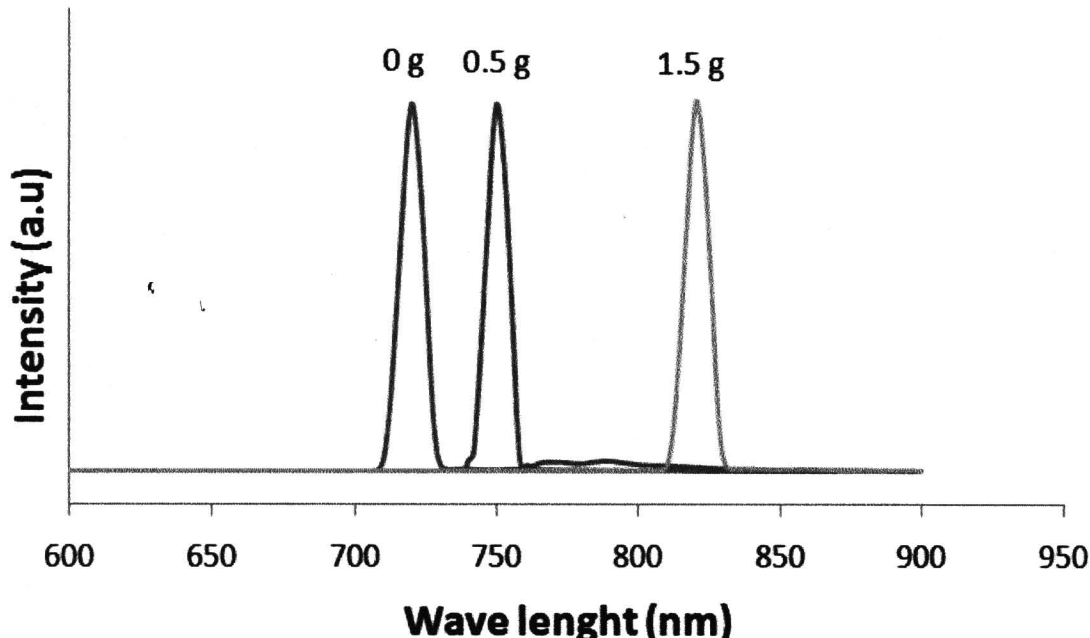
$$\alpha h\nu = A(h\nu - E_g)^{m/2}$$

เมื่อ  $h\nu$  คือพลังงาน โฟตอน  $A$  และ  $m$  คือค่าคงที่  $E_g$  คือ energy bandgap,  $\alpha$  คือ absorption coefficient และ  $m$  มีค่าเท่ากับ 1 เมื่อสารนั้นเป็น direct bandgap เมื่อพลอตกราฟความสัมพันธ์ระหว่าง  $(\alpha E_{\text{โฟตอน}})^2$  กับ  $E_{\text{โฟตอน}}$  แล้วประมาณค่าอนุกต์ช่วงเชิงเส้นที่ตำแหน่ง  $\alpha$  เท่ากับศูนย์จะได้ค่าของ  $E_{\text{โฟตอน}}$  เท่ากับ  $E_g$  ซึ่งจากรูปที่ 4.13 - 4.15 สามารถหาค่า  $E_g$  ได้เท่ากับ 1.92 eV, 1.81 eV และ 1.62 eV ตามลำดับ ซึ่งมีค่ามากกว่า  $\text{Bi}_2\text{S}_3$  ที่มีโครงสร้างเป็นกลุ่มก้อน ที่มีค่า  $E_g$  เท่ากับ 1.3 eV<sup>23</sup>

การคุคกเลินแสงทำให้อิเล็กตรอนข้ามจากชั้น valence band ไปยัง conduction band โดยเหลือ hole ไว้ในชั้น valence band ในอนุภาคนี้มีขนาดเล็กอิเล็กตรอนถูกบังอยู่ในบ่อพลังงานศักย์ที่มีขนาดเล็ก และความต่างของพลังงาน conduction band และอิเล็กตรอนอิสระทำให้เกิดปรากฏการณ์ quantum confinement<sup>22</sup> โดยที่ปรากฏการณ์นี้จะเพิ่มมากขึ้นเมื่อขนาดอนุภาคนี้มีขนาดเล็กซึ่งส่งผลให้ความต่างของ valence band และ conduction band มีค่าเพิ่มขึ้นส่งผลให้  $E_g$  นี

ค่ามากขึ้นและจากผลการทดลองพบว่าเมื่อขนาดของแท่งนาโนมีเส้นผ่าศูนย์กลางเพิ่มขึ้นแต่ค่า  $E_g$  นิ่งค่าลดลงซึ่งเป็นผลมาจากการประจุการณ์ quantum confinement

#### 4.1.5 ผลการทดลอง photoluminescence



รูปที่ 4.16 photoluminescence spectra ของ  $\text{Bi}_2\text{S}_3$  เมื่อเติม N-cetylpyridinium chloride ในปริมาณต่างๆ กัน

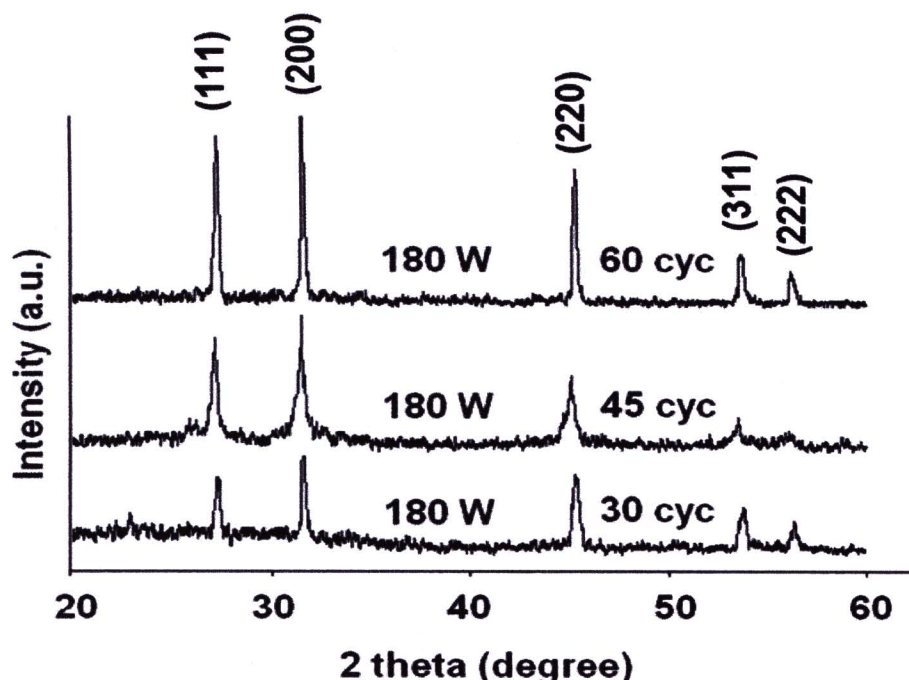
เนื่องจาก  $\text{Bi}_2\text{S}_3$  มีสมบัติทางแสงเปลี่ยนไปหลายอย่างเมื่อมีการเรืองแสง ได้แก่ photoconductive, photovoltaic และ rectifying response ผลการทดลอง photoluminescence spectroscopy ได้แสดงในรูปที่ 4.16 โดยทดลองที่อุณหภูมิห้องปราศจากว่า ที่ความขาวคลื่นกระตุ้นเท่ากับ 224 nm  $\text{Bi}_2\text{S}_3$  ที่สังเคราะห์โดยไม่เติม surfactant ปลดปล่อยพลังงานออกมานิรูปคลื่นแม่เหล็กไฟฟ้าที่มีความขาวคลื่น 720 nm (1.72 eV) พบรการเกิด red shift เมื่อเติม N-cetyl pyridinium chloride เพิ่มมากขึ้นอันเป็นผลมาจากการที่แท่งนาโนมีขนาดใหญ่ขึ้น เมื่อเติม N-cetyl pyridinium chloride 0.5 g และ 1.5 g จะได้จุดยอดของกราฟอยู่ที่ 750 nm (1.65 eV) และ 820 nm (1.51 eV) ตามลำดับ ซึ่งการเกิด red shift นี้เกิดจากประจุการณ์ quantum confinement



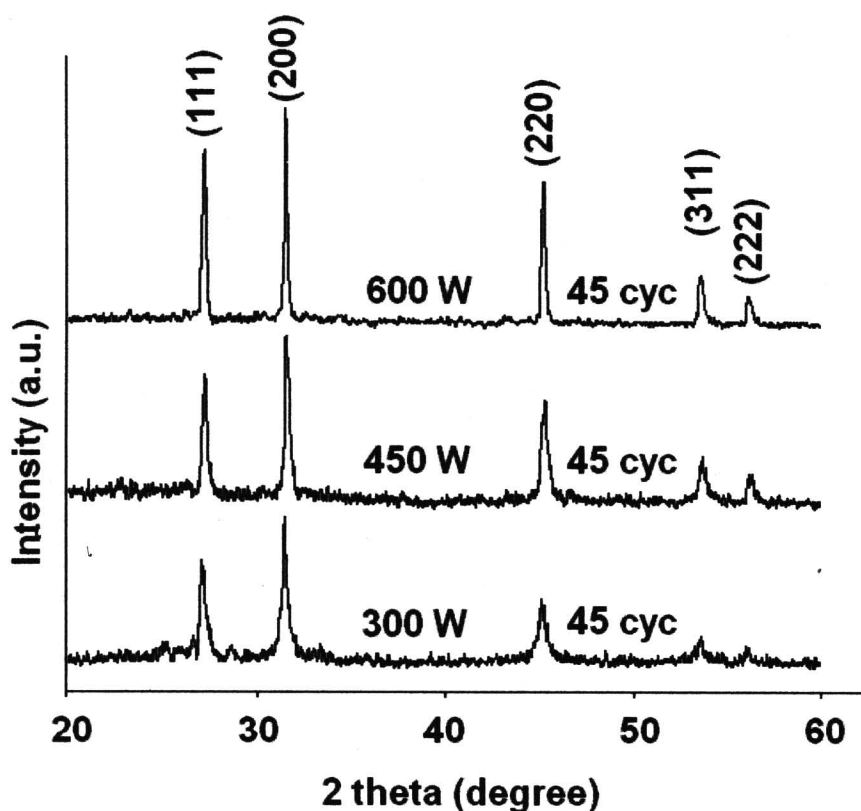
## 4.2. ผลการวิเคราะห์ AgBiS<sub>2</sub> ที่สังเคราะห์โดยวิธีการ microwave

### 4.2.1 ผลการทดลอง XRD

รูป 4.17 แสดงกราฟ XRD ของสารที่สังเคราะห์โดยคลื่นไมโครเวฟภายใต้เงื่อนไขกำลังไฟฟ้าคงที่ 180 W เมื่อทำการ index เปรียบเทียบจุดยอดต่างๆของกราฟ ปรากฏว่าตรงกับ cubic AgBiS<sub>2</sub> (JCPDS No. 04-0699) จากการเปรียบเทียบไม่พบจุดยอดของสารเรื่องปานอื่น จุดสูงสุดของกราฟมีตำแหน่งอยู่ที่  $2\theta = 31.7$  degrees ซึ่งเกิดมาจากการแทรกสอด มาจากกระบวนการ (200) ของพลีก และที่  $2\theta = 21.5, 45.8, 54.3, 56.5$  และ 66.3 degrees แสดงถึงระนาบ (111), (220), (311) และ (222) ตามลำดับ จากรูปที่กำลังไฟฟ้า 180 W ระยะเวลา 30 cycle ความสูงจุดยอดของกราฟ XRD ค่อนข้างต่ำแสดงให้เห็นว่าความเป็นพลีกของสารที่สังเคราะห์ได้มีค่าน้อยแต่มีให้ความร้อนแก่สารนานขึ้นกราฟ XRD เริ่มที่จะมีจุดยอดที่แคนและสูงขึ้นจนกระทั่งสูงสุดที่ 180 W ระยะเวลา 60 cycle

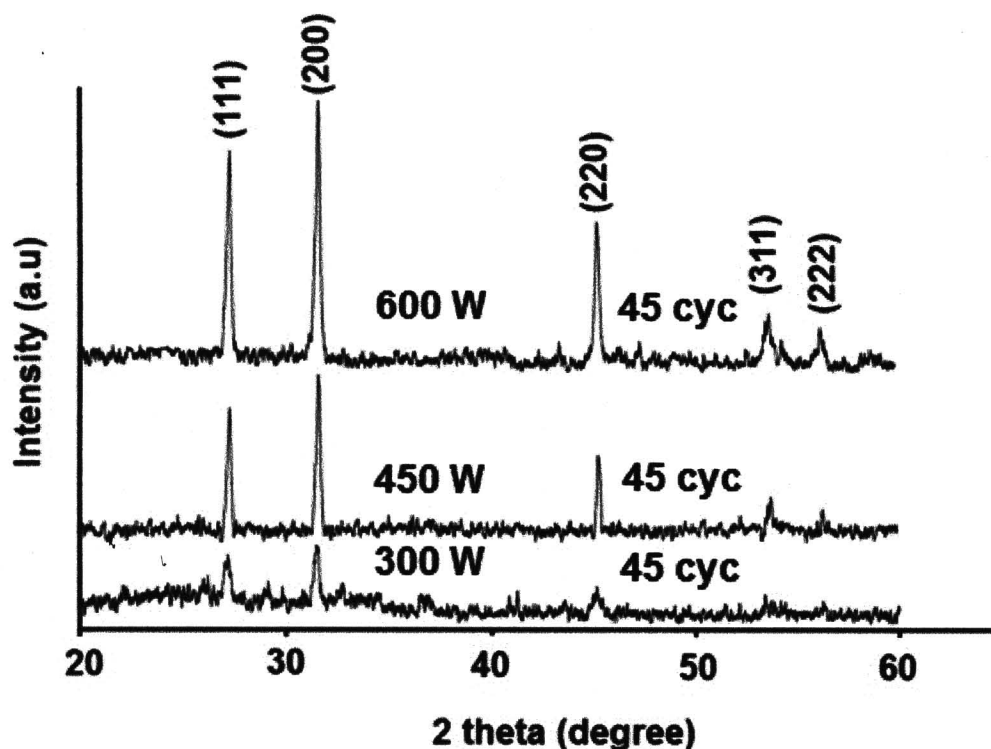


รูปที่ 4.17 แสดงกราฟ XRD ของ AgBiS<sub>2</sub> ที่กำลังไฟฟ้าคงที่แต่ใช้ระยะเวลาสังเคราะห์ต่างกันโดยมี thioacetamide เป็น sulfur source



รูปที่ 4.18 แสดงกราฟ XRD ของ  $\text{AgBiS}_2$  ที่ใช้เวลาสังเคราะห์คงที่แต่ใช้กำลังไฟฟ้าต่างกันโดยนิ thioacetamide เป็น sulfur source

จากรูปที่ 4.18 ที่กำลังไฟฟ้า 300 W ระยะเวลาสังเคราะห์ 45 cycle จุดยอดของกราฟ XRD ค่อนข้างต่ำและกว้าง แสดงให้เห็นว่าความเป็นผลึกของสารที่สังเคราะห์ได้มีค่าน้อย และมีค่าสูงขึ้น เมื่อเพิ่มกำลังไฟฟ้ามากขึ้น กราฟ XRD มีจุดยอดที่แคบและสูงขึ้นจนกระทั่งสูงสุดที่ 600 W ระยะเวลา 45 cycle



รูปที่ 4.19 แสดงกราฟ XRD ของ  $\text{AgBiS}_2$  ที่ใช้เวลาสังเคราะห์คงที่ 45 cycle แต่ใช้กำลังไฟฟ้าต่างกัน โดยมี thiourea เป็น sulfur source

จากรูปที่ 4.19 ที่กำลังไฟฟ้า 300 W ระยะเวลาสังเคราะห์ 45 cycle จุดยอดของกราฟ XRD ค่อนข้างต่ำและแสดงให้เห็นว่าความเป็นผลึกของสารที่สังเคราะห์ได้มีค่าน้อย และมีค่าสูงขึ้นเมื่อเพิ่มกำลังไฟฟ้ามากขึ้น กราฟ XRD มีจุดยอดที่แคบและสูงขึ้นจนกระทั่งสูงสุดที่ 600 W ระยะเวลา 45 cycle

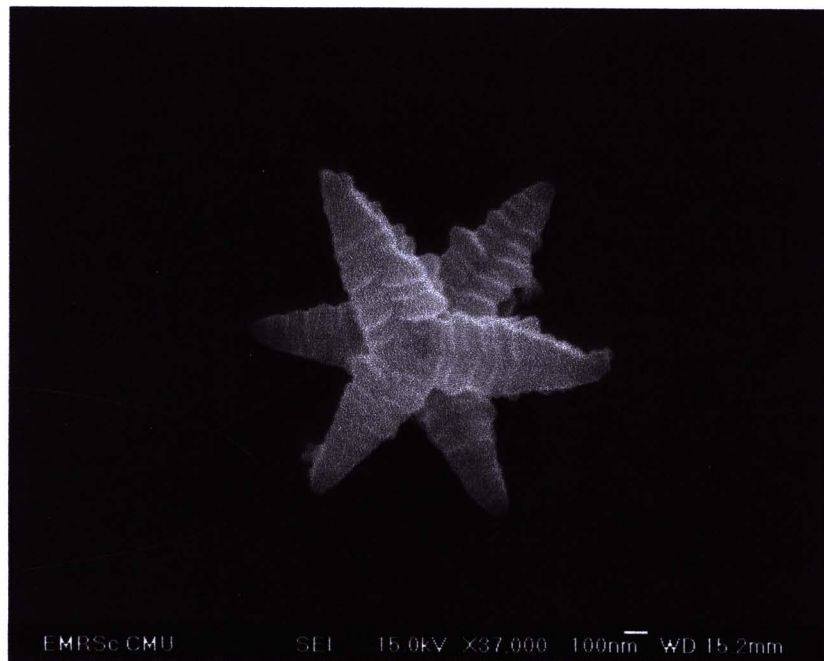
#### 4.2.2 ผลการทดลอง SEM



รูปที่ 4.20 แสดงรูป SEM ของ AgBiS<sub>2</sub> ที่กำลังไฟฟ้า 180 W ระยะเวลา 30 cycle โดยมี thioacetamide เป็น sulfur source



รูปที่ 4.21 แสดง SEM ของ AgBiS<sub>2</sub> ที่กำลังไฟฟ้า 180 W ระยะเวลา 45 cycle โดยมี thioacetamide เป็น sulfur source



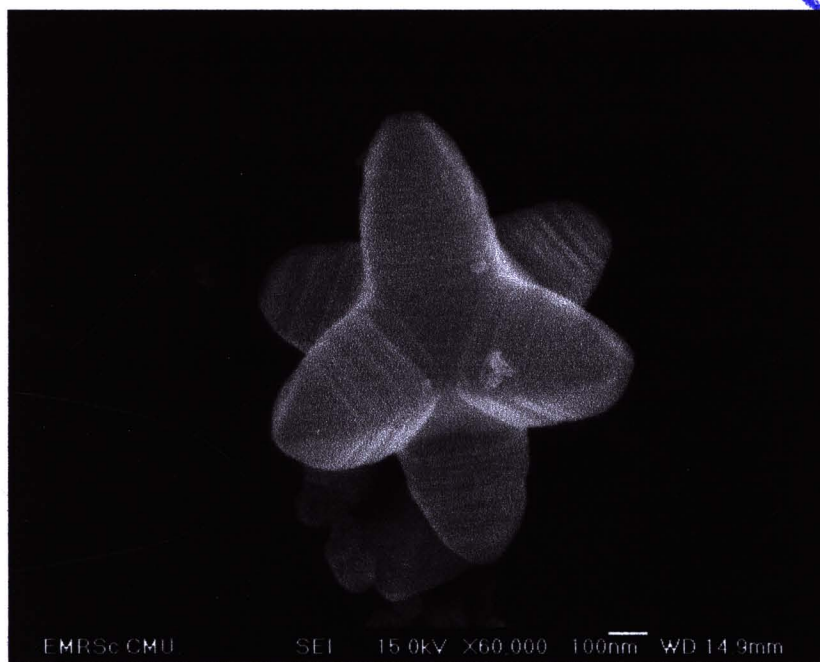
EMRSc CMU            SEI    15.0kV    X37,000    100nm    WD 15.2mm

รูปที่ 4.22 แสดง SEM ของ AgBiS<sub>2</sub> ที่กำลังไฟฟ้า 180 W ระยะเวลา 60 cycle โดยมี thioacetamide เป็น sulfur source

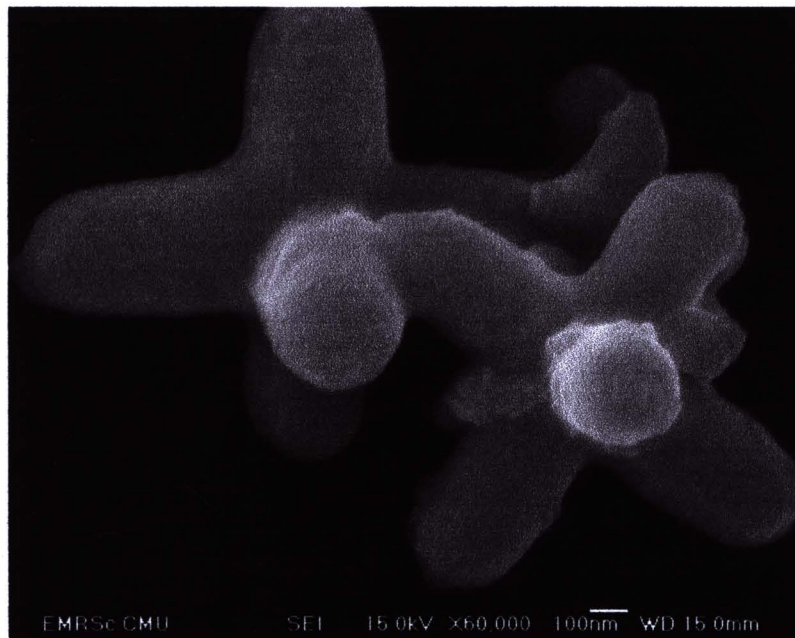


EMRSc CMU            SEI    15.0kV    X60,000    100nm    WD 14.9mm

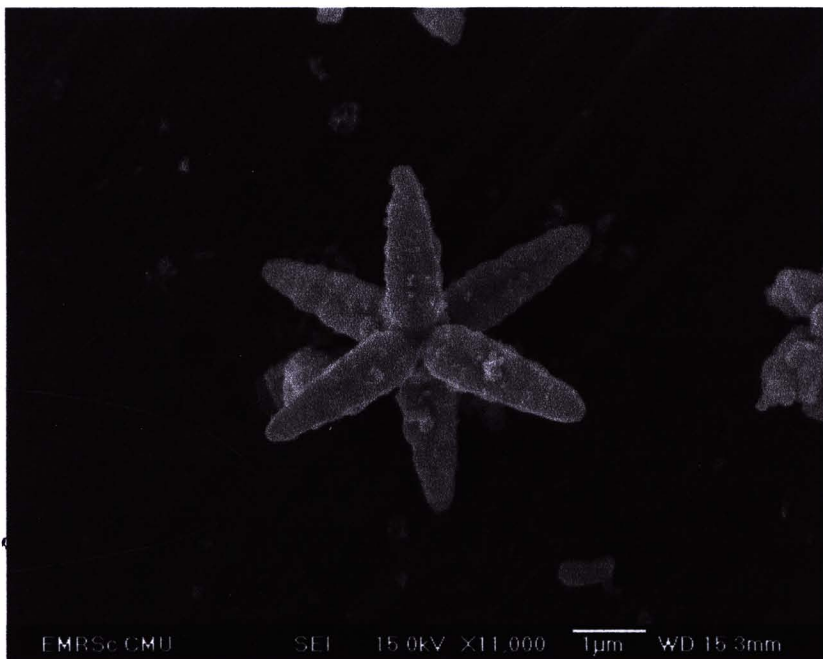
รูปที่ 4.23 แสดง SEM ของ AgBiS<sub>2</sub> ที่กำลังไฟฟ้า 300 W ระยะเวลา 45 cycle โดยมี thioacetamide เป็น sulfur source



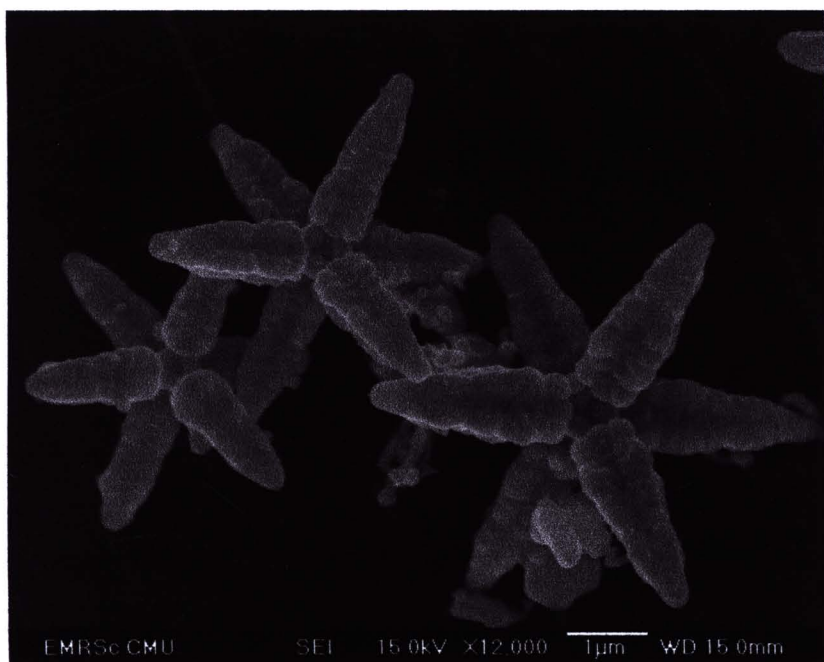
รูปที่ 4.24 แสดง SEM ของ  $\text{AgBiS}_2$  ที่กำลังไฟฟ้า 450 W ระยะเวลา 45 cycle โดยมี thioacetamide เป็น sulfur source



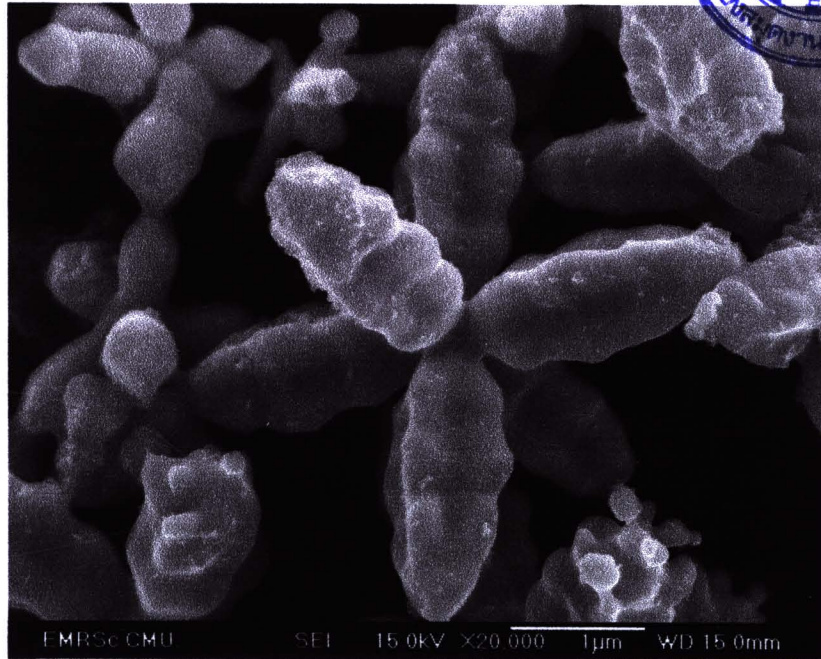
รูปที่ 4.25 แสดง SEM ของ  $\text{AgBiS}_2$  ที่กำลังไฟฟ้า 600 W ระยะเวลา 45 cycle โดยมี thioacetamide เป็น sulfur source



รูปที่ 4.26 แสดง SEM ของ AgBiS<sub>2</sub> ที่กำลังไฟฟ้า 450 W ระยะเวลา 45 cycle โดยมี thiourea เป็น sulfur source



รูปที่ 4.27 แสดง SEM ของ AgBiS<sub>2</sub> ที่กำลังไฟฟ้า 600 W ระยะเวลา 45 cycle โดยมี thiourea เป็น sulfur source



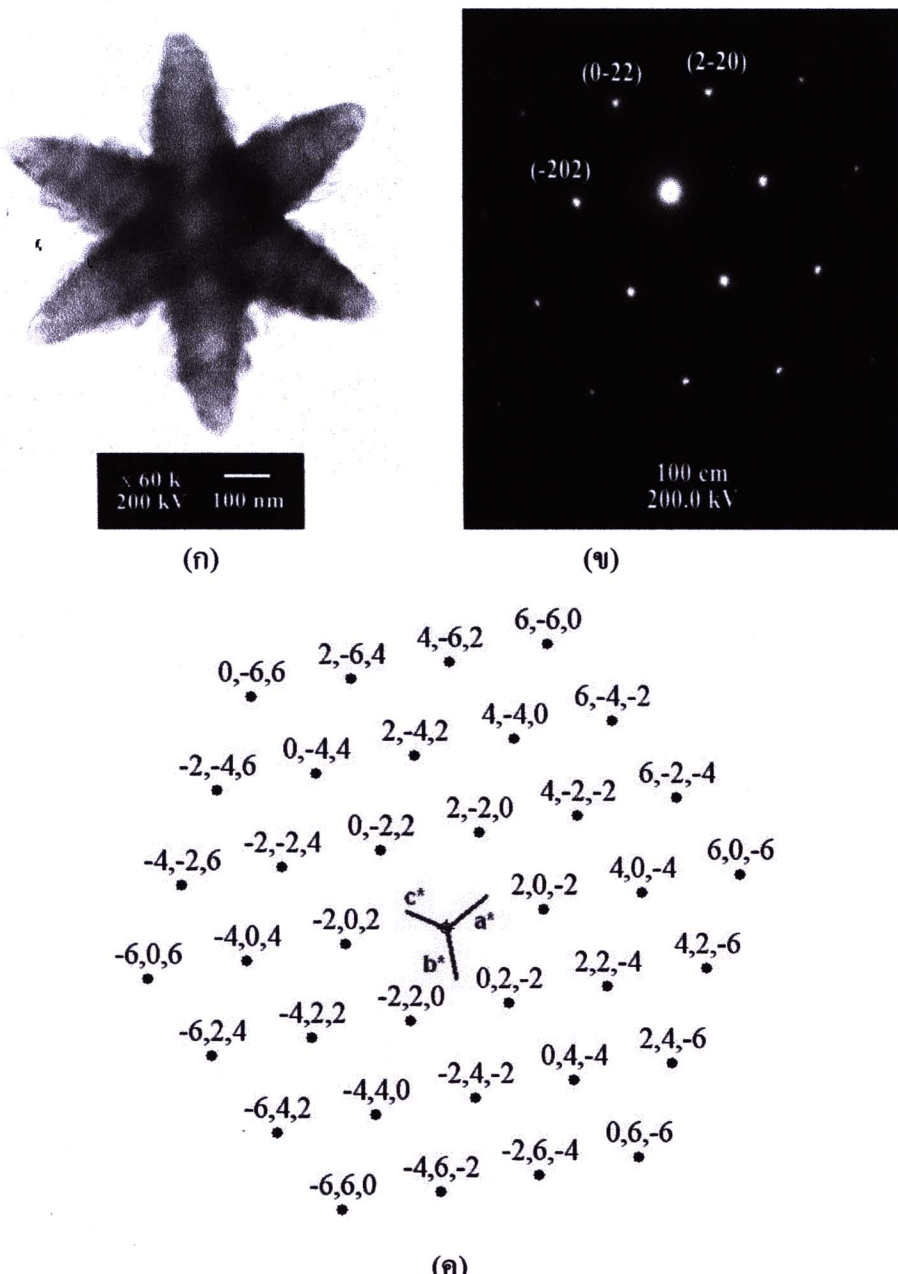
รูปที่ 4.28 แสดง SEM ของ  $\text{AgBiS}_2$  ที่กำลังไฟฟ้า 600 W ระยะเวลา 60 cycle โดยมี thiourea เป็น sulfur source

รูปถ่าย SEM แสดงลักษณะสัณฐานของ  $\text{AgBiS}_2$  เมื่อใช้  $\text{AgNO}_3$ ,  $\text{BiCl}_3$  และ thioacetamide เป็นสารตั้งต้นภายใต้เงื่อนไขต่างๆ จากรูปที่ 4.20 - 4.22 เมื่อกำลังไฟฟ้าคงที่ 180 W และใช้เวลาสังเคราะห์ต่างๆ กัน สารที่สังเคราะห์ได้มีโครงสร้างในระดับนาโนเมตรที่มีรูปร่างคล้ายดอก ซึ่งมีลักษณะแตกต่างกันตามเวลาที่ให้ความร้อนในการสังเคราะห์สาร เมื่อพิจารณาที่เวลาเดียวกัน คือ 45 cycle การให้ความร้อนด้วยไมโครเวฟที่กำลังไฟฟ้าสูงขึ้นนิผลทำให้โครงสร้างในระดับนาโนเมตรที่มีลักษณะคล้ายดอก เปลี่ยนแปลงเป็นลักษณะ hexapods ที่มีลักษณะของแขนหางหกขา 4 ขาอยู่ในระนาบเดียวกัน และอีก 2 ขาอยู่หันหน้าไปทางด้านข้างและอีก 2 ขาอยู่หันหลังซึ่งแยกหัว 6 ขาที่อยู่หันหน้าและหันหลัง ระหว่างการเปลี่ยนแปลงนี้ลักษณะพื้นผิวโครงสร้างในระดับนาโนเมตรที่มีร่องรอยเด่นชัดที่เริ่มหายไปและเรียบในที่สุด โดยที่ 600 W เวลา 45 cycle พื้นผิวของ hexapod มีลักษณะเรียบมากที่สุด แต่จะเปลี่ยนไปในการสังเคราะห์ สารที่สังเคราะห์ได้มีรูปร่างและขนาดที่แตกต่างกันซึ่งถูกควบคุมโดยการเติบโตของนิวเคลียสของตัวสารและระยะเวลาการเติบโต

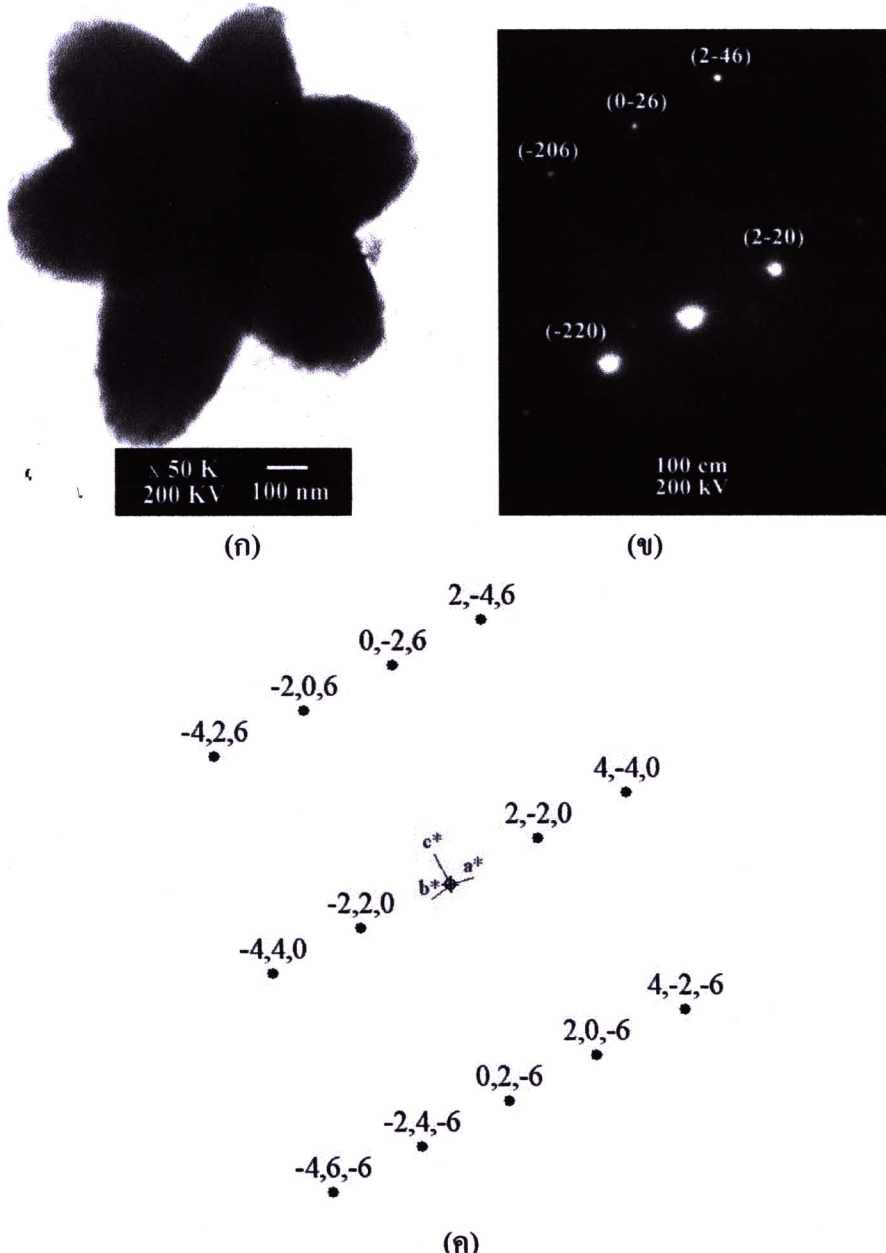
เมื่อเปลี่ยน sulfur source ในการสังเคราะห์จาก thioacetamide เป็น thiourea สารที่สังเคราะห์ได้เริ่มนิรูปร่าง hexapods ที่ 450 W เวลา 45 cycle เมื่อเปรียบเทียบ hexapods ที่ใช้ thioacetamide และที่ใช้ thiourea เป็น sulfur source ลักษณะโครงสร้างในระดับนาโนเมตรของ  $\text{Bi}_2\text{S}_3$  ที่ใช้ thiourea เป็น sulfur source จะหนาและยาวกว่า พื้นผิวมีลักษณะรุขระและมีรูปร่าง

แต่ก็ต่างกับที่ใช้ thioacetamide เป็น sulfur source แต่เมื่อเพิ่มกำลังไฟฟ้าของ microwave และเพิ่มระยะเวลาในการให้ความร้อน pods ที่ใช้ thiourea เป็น sulfur source จะเริ่มนีขนาดข้าวและหนาขึ้น แต่พื้นผิวยังคงมีลักษณะของคล้ายเดิม ถึงแม้จะให้กำลังไฟฟ้าที่ 600 W and 60 cycle แล้วก็ตาม

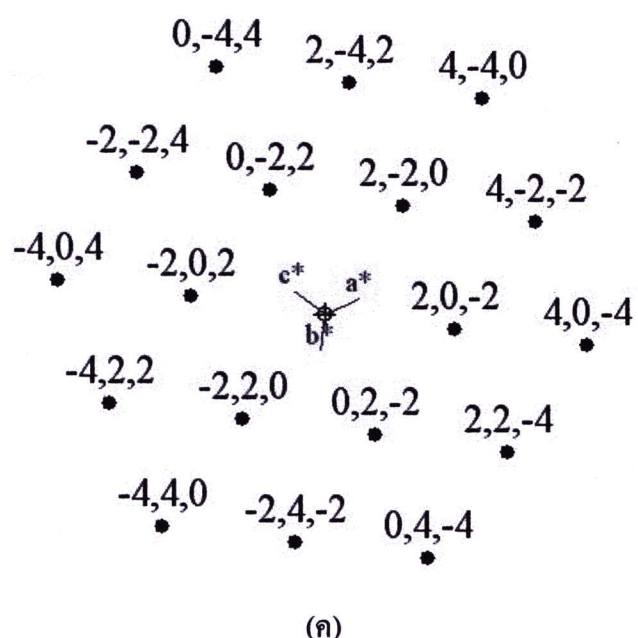
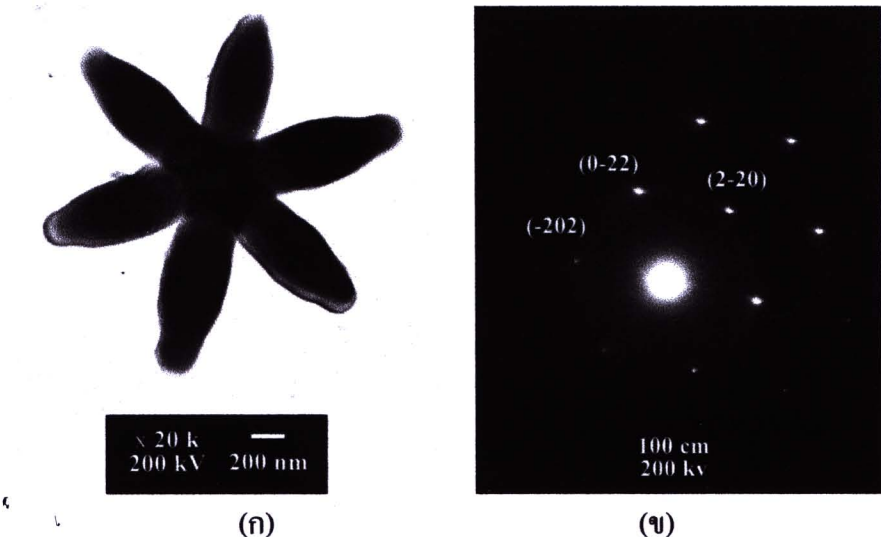
#### 4.2.3 ผลการทดลอง TEM



รูปที่ 4.29 รูป TEM (ก) SAED patterns (ุ) SAED patterns ที่จำลองขึ้นจากโปรแกรม ที่ zone axis [111] กำลังไฟฟ้า 180 W ระยะเวลา 45 cycle โดยมี thioacetamide เป็น sulfur source



รูปที่ 4.30 รูป TEM (g) SAED patterns (u) SAED patterns ที่จำลองขึ้นจากโปรแกรม ที่ zone axis [331] กำลังไฟฟ้า 450 W ระยะเวลา 45 cycle โดยมี thioacetamide เป็น sulfur source



รูปที่ 4.31 รูป TEM (n) SAED patterns (ψ) SAED patterns ที่จำลองขึ้นจากโปรแกรม ที่ zone axis [111] กำลังไฟฟ้า 600 W ระยะเวลา 45 cycle โดยมี thiourea เป็น sulfur source

ตาราง 4.1 การคำนวณระยะที่แท่งจุดใน diffraction pattern ของ  $\text{AgBiS}_2$  กำลังไฟฟ้า 180 W ระยะเวลา 45 cycle โดยมี thioacetamide เป็น sulfur source

ลำดับจุด	ความยาว (mm)	$d = L * \lambda / R (\text{\AA})$	$d (\text{\AA})$ (JCPDS file 04-0699)	(hkl)
1	12.50	1.99704	1.98000	220
2	21.50	1.16107	1.15248	422
3	25.00	0.99852	0.99808	440

ตาราง 4.2 การคำนวณระยะที่แท่งจุดใน diffraction pattern ของ  $\text{AgBiS}_2$  กำลังไฟฟ้า 600 W ระยะเวลา 45 cycle โดยมี thioacetamide เป็น sulfur source

ลำดับจุด	ความยาว (mm)	$d = L * \lambda / R (\text{\AA})$	$d (\text{\AA})$ (JCPDS file 04-0699)	(hkl)
1	12.50	1.99704	1.98000	220
2	17.75	1.40637	1.41000	440
3	27.00	0.92455	0.89271	206
4	32.00	0.78009	0.75448	246

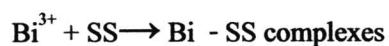
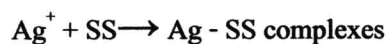
ตาราง 4.3 การคำนวณระยะที่แท่งจุดใน diffraction pattern ของ  $\text{AgBiS}_2$  กำลังไฟฟ้า 600 W ระยะเวลา 45 cycle โดยมี thiourea เป็น sulfur source

ลำดับจุด	ความยาว (mm)	$d = L * \lambda / R (\text{\AA})$	$d (\text{\AA})$ (JCPDS file 04-0699)	(hkl)
1	12.50	1.99704	1.98000	220
2	21.50	1.16107	1.15248	422
3	25.00	0.99852	0.99808	440

SAED patterns มีลักษณะจุดที่เป็นระบบที่เกิดจากการแทรกสอดของอิเล็กตรอนจากพลังสูงของ XRD เพื่อระบุว่าเป็น cubic AgBiS<sub>2</sub> (JCPDS No. 04-0699) ดังตารางที่ 4.1 – 4.3

Electron diffraction patterns ได้ถูกจำลองขึ้น โดยโปรแกรมซิงค์จุดที่จำลองขึ้นต่างให้ผลเช่นเดียวกันกับจุดของ SAED patterns ที่ได้จากการทดลอง

การสังเคราะห์ AgBiS<sub>2</sub> โดยวิธีการ cyclic microwave radiation เริ่มจากคล�าย AgNO<sub>3</sub> และ BiCl<sub>3</sub> ใน ethylene glycol (EG) และจากการคนอย่างต่อเนื่องทำให้ Ag<sup>+</sup> และ Bi<sup>3+</sup> ฟอร์มตัวกับ sulfur sources thioacetamide และ thiourea เป็น complexes ที่อยู่ในระดับพลังงานต่ำดังนั้นการฟอร์มตัวกันของ Ag<sub>2</sub>S และ Bi<sub>2</sub>S<sub>3</sub> จึงยังไม่เกิดขึ้น<sup>11,24</sup>



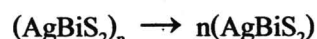
เมื่อนำสารไปผ่าน Cyclic Microwave Radiation ที่มีกำลังไฟฟ้าแตกต่างกัน กับเวลาที่ให้ความร้อนแก่สารที่แตกต่างกัน complexes จะถูกถลายตัว และเนื่องจากความเสถียรของ complexes เหล่านี้ทำให้การถลายตัวเกิดขึ้น ได้ช้าถ้าใช้การให้ความร้อนแบบปกติแต่มีให้ความร้อนจากไมโครเวฟที่มีค่าสูง ความเข้มข้น nuclei ของ (AgBiS<sub>2</sub>)<sub>n</sub> ก็จะเพิ่มขึ้นตามสมการการแลกเปลี่ยน ไอออน<sup>11</sup>

(CMR, EG)



ส่วน Ag-Bi-SS complexes บางส่วนที่ฟอร์ม complexes ระหว่างการคนอย่างต่อเนื่องที่อุณหภูมิห้องก็จะถูกถลายพันธะโดยคลื่นไมโครเวฟเป็น (AgBiS<sub>2</sub>)<sub>n</sub> และสูญเสียก็ได้เป็น AgBiS<sub>2</sub>

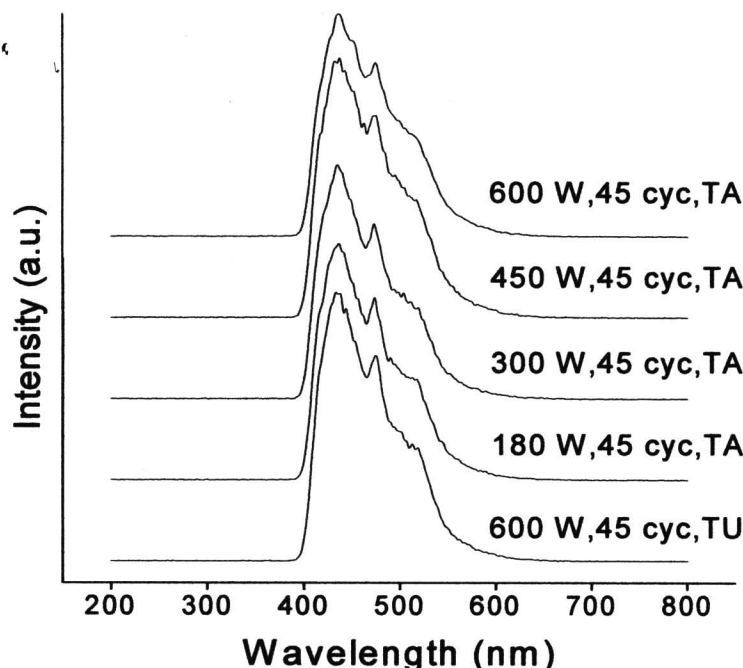
(CMR, EG)



จากการให้สารตั้งต้นผ่าน Cyclic Microwave Radiation จึงสามารถสังเคราะห์ AgBiS<sub>2</sub> ที่มีลักษณะคล้ายดอกเกิดขึ้นทั้งนี้เนื่องจากคลื่นไมโครเวฟทำให้เกิดการสั่นของ nuclei เป็นผลทำให้เกิด orientation growth ของ AgBiS<sub>2</sub> ในลักษณะจำเพาะโดยที่กำลังไฟฟ้าต่ำมีผลทำให้โครงสร้างในระดับนาโนที่ได้มีลักษณะคล้ายดอกและเมื่อเพิ่มกำลังไฟฟ้าก็มีผลทำให้รูปร่างเปลี่ยนเป็น hexapod

ซึ่งสาเหตุก็มาจากการเมื่อเพิ่มกำลังไฟฟ้ามากขึ้นก็ยิ่งทำให้อะตอมเกิดการสั่นมากขึ้นทำให้มีโอกาสที่จะทำให้เกิดการเรียงตัวกันเพื่อทำให้เกิดการฟอร์มนของ hexapod ได้ดีขึ้น<sup>11,24</sup> และจากงานวิจัยก่อนหน้านี้<sup>25</sup> ก็แสดงให้เห็นว่าตัวทำละลาย ที่ใช้ในการทำปฏิกิริยาไม่ส่งผลให้เกิดการเปลี่ยนแปลงรูปร่างของผลึกสารที่สังเคราะห์ได้ การใช้ cyclic microwave radiation มีผลทำให้กระบวนการสังเคราะห์เกิดขึ้นได้เร็วและทั่วถึงขึ้นเมื่อเทียบกับวิธีการให้ความร้อนแบบปกติ และรวมถึงลักษณะเฉพาะขององค์ประกอบน้ำยาต่างๆที่ทำให้เกิดกระบวนการสังเคราะห์ที่สมบูรณ์นี้ขึ้น

#### 4.2.4 ผลการทดลอง photoluminescence



รูปที่ 4.32 photoluminescence spectra ของ  $\text{AgBiS}_2$  ที่เงื่อนไขการสังเคราะห์ต่างๆ

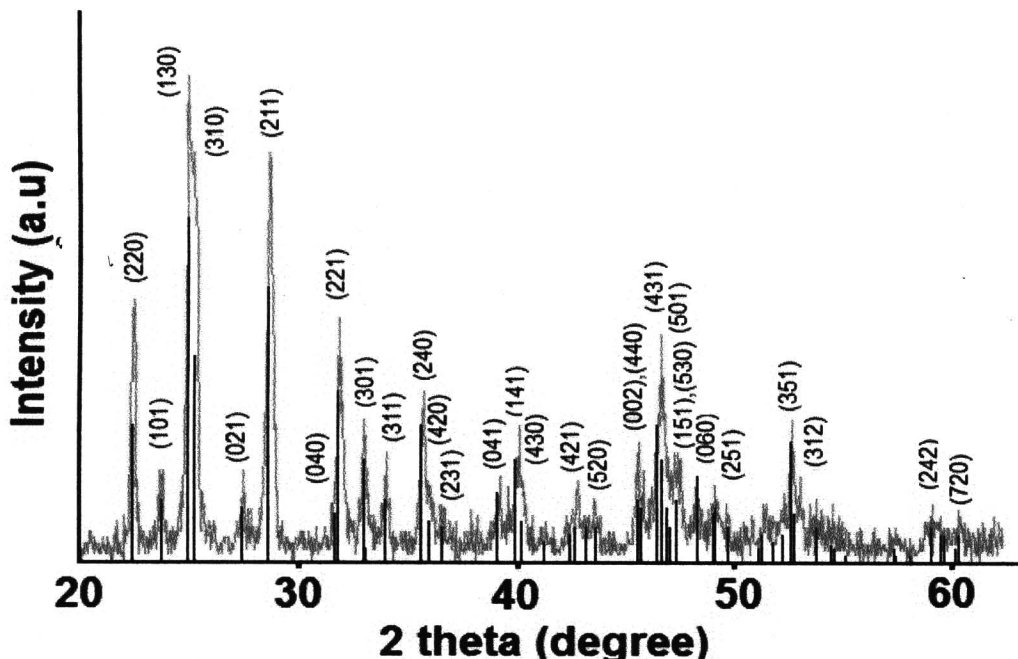
photoluminescence (PL) emissions ของสารที่สังเคราะห์ได้แต่ละเงื่อนไข ถูกกระตุ้นโดยใช้คลื่นแสงที่มีความยาวคลื่น 200 nm ที่อุณหภูมิห้องทำให้สารเกิดการเรืองแสงโดยปลดปล่อยพลังงานออกมานในรูปคลื่นแม่เหล็กไฟฟ้าที่มีความยาวคลื่น 435 nm (2.85 eV) และมีจุดยอดไกล์เคียงอีกจุดยอดหนึ่งคือที่ 474 nm (2.62 eV) จุดยอดเหล่านี้สามารถวิเคราะห์ได้ว่าเกิดจากกระบวนการ recombination ของ electron และ electron hole ในบริเวณ trapped surface states ซึ่งอยู่ภายใน energy bangap<sup>26</sup> แต่ที่จุดยอดที่รองลงมา เกิดจาก shallow level ของ donors และ acceptors ระหว่าง valence band และ conduction band

## บทที่ 4

### ผลการทดลองและการวิเคราะห์

#### 4.1 ผลการวิเคราะห์ $\text{Bi}_2\text{S}_3$ ที่สังเคราะห์โดยวิธีการ microwave

##### 4.1.1 ผลการทดลอง XRD



รูปที่ 4.1 แสดงถึงกราฟ XRD ของ  $\text{Bi}_2\text{S}_3$  เมื่อไม่เติม surfactant

รูปที่ 4.1 แสดงถึง กราฟ XRD ของสารตัวอย่าง โดยทุกจุดยอดของกราฟสามารถบ่งชี้ได้ว่า สารตัวอย่างคือ  $\text{Bi}_2\text{S}_3$  ที่มีลักษณะเซลล์ก้อนยูในรูปแบบ orthorhombic มีค่าคงที่เซลล์  $a=11.12$ ,  $b=11.25$ , และ  $c=3.975 \text{ \AA}$  (JCPDS file no. 17-0320) ลักษณะของจุดยอดของกราฟมีฐานที่แคบและ สูง แสดงว่า  $\text{Bi}_2\text{S}_3$  มีความเป็นผลึกที่ดี ไม่พบจุดยอดของกราฟที่มาจากการหล่อ จุดสูงสุดของกราฟอยู่ที่  $2\theta=24.92 \text{ degree}$  ซึ่งถูกแทรกสอดมาจากระนาบ (130) ของผลึก